网络出版时间: 2020 - 8 - 21 16: 52 网络出版地址: https://kns.cnki.net/kcms/detail/34.1065.r. 20200820.1450.026. html 令技术与方法令

Cytomics FC500 与 ImageStream^X Mark II 检测大鼠 脾脏 T、B 细胞亚群 TDO₂ 表达的比较

张冰洁 李丝雨 赵英杰 常 艳 魏 伟

摘要 用常规方法制备大鼠脾脏细胞悬液,分别用 Cytomics FC500 流式细胞仪(FC500) 和 ImageStream Mark II 成像流式细胞仪(Mark II) 检测大鼠脾脏辅助性 T 细胞(CD3+CD4+)、细胞毒性 T 细胞(CD3+CD8+)、B 细胞(CD45R+) 色氨酸 2 3 双加氧酶(TDO2) 的表达水平,并观察 2 种检测技术检测结果的相关性和一致性。结果显示 2 种流式细胞仪测得的 CD3+CD4+T 细胞、CD3+CD8+T 细胞和 CD45R+B 细胞表达 TDO2 的相关性较好(R^2 均 > 0.8)。 Bland-Altman法分析 2 种检测技术测得 CD3+CD4+细胞、CD3+CD8+细胞和 CD45R+细胞表达 TDO2 的偏倚较小,分别为 -1.3%、-8.2%、-7.4%。 TDO2 在大鼠脾脏 T、B 细胞中均有表达。FC500 和 Mark II 检测结果的相关性和一致性较好。FC500操作方便 速度快。Mark II 将传统流式细胞术的高通量分析与细胞形态学分析相结合,精确度高,可获得细胞具体图片。

关键词 流式细胞术; $T \setminus B$ 细胞; TDO_2 ; 相关性; 一致性中图分类号 R 331

文献标志码 A 文章编号 1000 – 1492(2020) 09 – 1455 – 05 doi: 10.19405/j. cnki. issn1000 – 1492.2020.09.027

Cytomics FC500 型流式细胞仪作为经典的流式细胞检测技术,可以从细胞分子水平上通过抗原 - 抗体特异性结合原理对单个细胞或其他生物粒子进行精准、快速的高通量定量分析[1]。它可以在短时间内分析上万个细胞,并能同时从一个细胞中测得多个指标,具有速度快、精度高、准确性好的优点。

2020-05-16 接收

基金项目: 国家自然科学基金(编号: 81573443、81673444); 安徽省自然科学杰出青年基金(编号: 170808J10); 2016 年高校优秀青年人才支持计划重点项目(编号: gxyqZD2016043)

作者单位: 安徽医科大学临床药理研究所、抗炎免疫药物教育部重点 实验室、抗炎免疫药物安徽省协同创新中心,合肥 230032

作者简介: 张冰洁, 女, 硕士研究生;

常 艳 女 教授 硕士生导师 ,责任作者 ,E-mail: yychang @ ahmu. edu. cn;

魏 伟 男 教授 ,博士生导师 ,责任作者 ,E-mail: wwei@ahmu. edu. cn

但它缺乏细胞形态学、细胞结构等直观观察细胞信号分布的相关信息,获得细胞信息有限 $^{[2-3]}$ 。 ImageStream Mark II 成像流式细胞仪除了具有传统流式特点 还可以获得单个细胞的图像,可以对细胞形态、荧光探针的强度和定位进行检测,包括细胞间相互作用、吞噬、凋亡、自噬、核易位和形态变化等 $^{[4]}$ 。该文为比较 2 种流式检测技术,以色氨酸 2 3 双加氧酶(tryptophan 2 , 3 - dioxygenase , TDO_2) 在大鼠脾脏 T、B 细胞中的表达水平作为检测指标,从结果的相关性和一致性评价 2 种检测技术的差异。

1 材料与方法

1.1 动物与试剂 SPF 级健康雄性 Wistar 大鼠 3 只,体质量(200 ± 20) g,合格证号: [SCXK(京)2016-0006] 购于北京维通利华实验动物技术有限公司。FITC-CD3(批号: 11-0030-81)、PE-CD4(批号: 12-0040-80)、PE-CD8a(批号: 25-0084-80)、PE-CD45R(批号: 12-0460-82)、Transcription Factor Staining Buffer Set 购于美国 eBioscience 公司; 抗 TDO2一抗(1:100)(批号: 15880-1-AP)、CL594-Conjugated Goat Anti-Rabbit IgG(H+L)(1:100)(批号: SA00013-4) 荧光二抗购于美国 Proteintech 公司; Lysing Buffer(10× concentrate) 购于美国 BD 公司。

1.2 仪器 FC 500 流式细胞仪购自美国贝克曼公司; ImageStream Mark II 成像流式细胞仪购自美国Amnis 公司; SIGMA 3-30 K 低温高速离心机购自上海纳腾仪器有限公司。

1.3 方法

1.3.1 大鼠脾脏 T 淋巴细胞的分离 麻醉后处死大鼠 ,无菌剥离脾脏 ,研磨大鼠脾脏制备细胞悬液 ,在细胞悬液中加入 5 ml 配制好的红细胞裂解液祛除红细胞 ,用 PBS 调整细胞浓度至 3×10^6 个细胞/ml。

1.3.2 2 种流式细胞仪检测 $T \times B$ 细胞亚群 TDO_2 表达 样本制备: 在 $100~\mu l$ 细胞悬液(3×10^6 个细胞/m l) 中 分别按所需表面标记加入 FITC 标记的

CD3 抗体、PE 标记的 CD4 抗体、PE 标记的 CD8 抗体和 PE 标记的 CD45R 抗体,同时设置空白对照管和阴性对照管。 4° 避光孵育 30 min。使用含 2% 胎牛血清的 PBS 洗涤 1 遍后加入 100 μ l 固定液,混匀 4° 避光固定 30 min。PBS 洗涤后加入 100 μ l 破膜液重悬,室温破膜 10 min。每管加入 2 μ l 血清封闭 20 min。加入 TDO2 一抗,孵育 1 h。加入二抗前按照上述步骤加入 PBS 洗涤离心弃上清液。二抗按照(1:100) μ l 配制,直接每管加入 100 μ l 混匀,避光孵育 30 min。上机前用 PBS 洗涤后,再加入PBS 重悬后上机检测。每个检测指标设 3 个复管,重复 3 次。

1.4 统计学处理 相关性分析采用线性回归和多配对标本的非参数检验(Friedman 检验),以 P < 0.05 为差异有统计学意义。一致性评价采用Bland—Altman 法,绘制 Bland—Altman 图的横坐标(Average)为(FC500+Mark II)/2,纵坐标为(FC500-Mark II)/[FC500+Mark II)/2]。

2 结果

2.1 Cytomics FC500 与 ImageStream Mark II 检测的相关性和一致性 2 种检测技术测得大鼠脾脏 $CD3^+CD4^+$ T 细胞、 $CD3^+CD8^+$ T 细胞和 $CD45R^+$ B 细胞表达 TDO_2 结果的判定系数 R^2 均 > 0. 8 ,斜率在 0. 32 ~ 1. 047 ,截距在 6. 409 ~ 33. 381 之间 ,P < 0. 05 相关性良好。Bland—Altman 分析显示 2 种检测技术测得 $CD3^+CD4^+$ T 细胞、 $CD3^+CD8^+$ T 细胞

和 CD45 R^+ B 细胞表达 TDO₂ 的偏倚值分别为 -1.3%、-8.2%、7.4% ,一致性界限范围较窄(见表 1、图 1)。

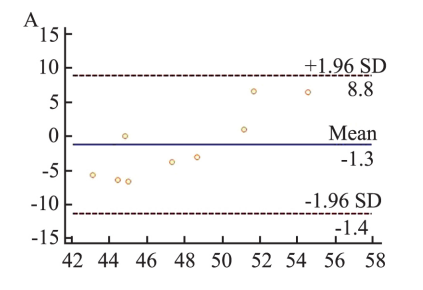
- 2.2 Cytomics FC500 与 ImageStream^x Mark II 检测大鼠脾脏 T、B 细胞亚群表达 TDO, 的表达情况
- **2.2.1** CD3 ⁺ CD4 ⁺ T 细胞表达 TDO₂ 的情况 如图 2A(FC500) 和 2B(Mark Ⅱ) 结果显示 ,TDO₂ 在CD3 ⁺ CD4 ⁺ T 细胞内有表达。
- **2.2.2** CD3 ⁺ CD8 ⁺ T 细胞表达 TDO₂ 的情况 如图 3A(FC500) 和 3B(Mark Ⅱ) 结果显示 ,TDO₂ 在CD3 ⁺ CD8 ⁺ T 细胞内有表达。
- **2.2.3** CD45R⁺B 细胞表达 TDO₂ 的情况 如图 4A(FC500) 和 4B(Mark Ⅱ) 结果显示 ,TDO₂ 在 CD45R⁺B 细胞内有表达。
- 2.2.4 ImageStream^x Mark II 成像流式细胞仪检测的荧光图片 如图 2C、3C、4C、01、09 表示明场 02表示 CD3 FITC 通道 ,03表示 CD4-PE、CD8-PE、CD45R-PE 通道 ,11表示 APC-TDO₂ 通道 结果显示TDO₂ 主要表达 CD3 + CD4 + T 细胞、CD3 + CD8 + T 细胞和 CD45R + B 细胞的细胞质。

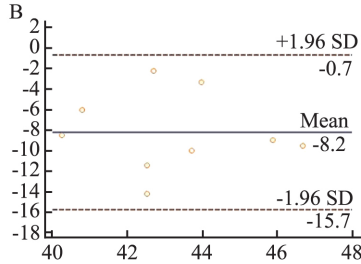
3 讨论

色氨酸(tryptophan,Trp)耗竭导致犬尿氨酸(kynurenine,Kyn)及其下游产物增多,抑制T细胞的增殖甚至凋亡,进而参与自身免疫病、癌症等疾病的发生发展过程^[5-8]。肿瘤细胞通过利用TDO₂介导T细胞免疫调节作用抑制抗肿瘤免疫反应,促进

检测指标	样本量 -	中位数(P ₂₅ P ₇₅)		D	线性回归		
		FC500(%)	Mark II (%)	P	R^2	斜率	截距
CD3 + CD4 + TDO ₂ +	9	45.4(41.2 51.6)	48.38(45.93 50.2)	< 0.05	0.868	0.320	33.381
CD3 $^{+}$ CD8 $^{+}$ TDO $_{2}$ $^{+}$	9	38.7(36 41.6)	48.25(43.79 49.63)	< 0.05	0.943	1.047	6.409
CD45R + TDO ₂ +	9	48.3(45.9 49.1)	40.27(38.77 41.77)	< 0.05	0.939	0.679	7.989

表 1 FC500 和 Mark II 流式细胞术检测技术的相关性分析(n=3)





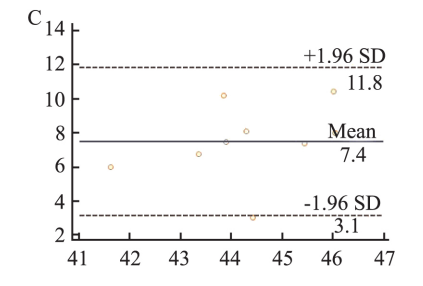


图 1 FC500 和 ImageStream Mark II 流式细胞术检测脾脏 T 细胞亚群、B 细胞偏倚值图 A: CD3 + CD4 + T 细胞 TDO2 偏倚值; B: CD3 + CD8 + T 细胞 TDO2 的偏倚值; C: CD45R + B 细胞 TDO2 的偏倚值

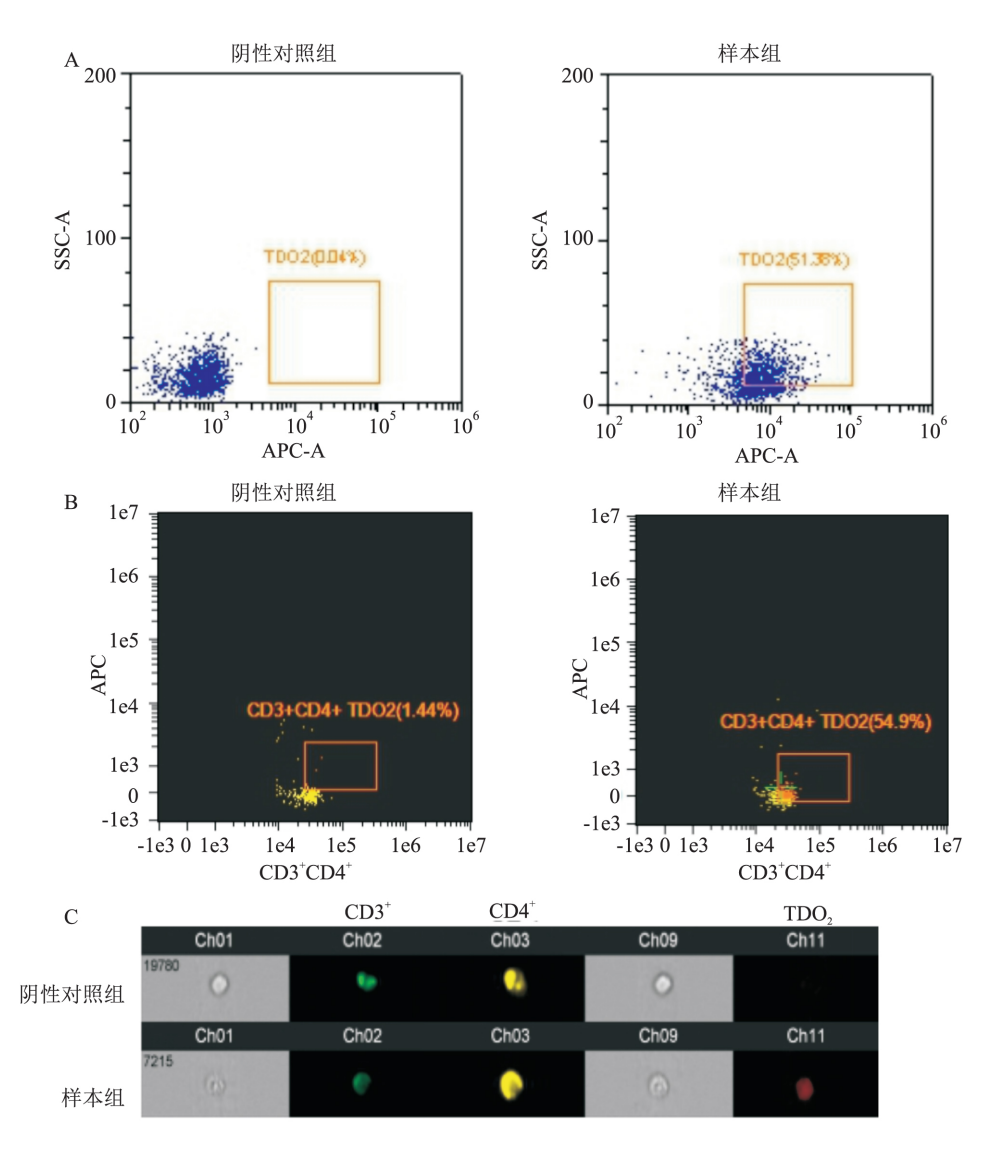


图 2 TDO₂ 在大鼠脾脏辅助型 T 细胞中的表达

A: Cytomics FC500 检测结果; B: ImageStream Mark II 检测结果; C.: ImageStream Mark II 得到的细胞图片。

肿瘤生长^[9-10]。脾脏是机体成熟淋巴细胞分布的主要部位,脾脏中 $T \setminus B$ 淋巴细胞介导的细胞、体液免疫对维持机体免疫调节的稳定发挥着重要作用^[11]。本实验利用 2 种不同流式细胞技术检测大鼠脾脏辅助性 T 细胞($CD3^+CD4^+$)、细胞毒性 T 细胞($CD3^+CD8^+$)、B 细胞($CD45R^+$)中 TDO_2 表达情况,同时获取细胞图像,为进一步研究 TDO_2 参与机体免疫调控以及更好地选择实验方法提供依据。

本实验为比较 2 种流式细胞术检测方法的差异,由同一人在同样操作下上机检测,实验过程中,注意细胞数量分配均匀、适合的样本抗体配比、正确的圈门设计和适当的电压补偿调节等操作因素,两台仪器测得结果的差异可以控制在较小范围内。

Cytomics FC500 型流式细胞仪因其具有: ① 速

度快 平均每管上机时间为 1 min; ② 操作简便; ③ 适用多种标本的检测等优点 应用广泛。然而 这种流式细胞术检测到的结果无法获得具体的细胞图像 因此局限于不要求细胞结构的分析 并且细胞圈门以及荧光强度的调节需要专业人员调试后方可使用 其结果受到人员影响较大。成像流式细胞分析仪因其操作简便 获取信息多 是近年来快速发展的新型流式细胞技术 ,它将传统流式细胞术的高通量分析与细胞形态学分析相结合 ,不仅可提供基于普通流式的阳性百分比分析统计数据 ,还可获得细胞形态、表达部位等多个直观图片[12]。虽然上样速度相对较 FC500 慢 ,平均每管耗时 3 min ,并且选用的洗液为不含钙、镁离子的 PBS ,成本较 FC500 高 ,但成像流式细胞分析仪还具有以下几个优点: ① 样本

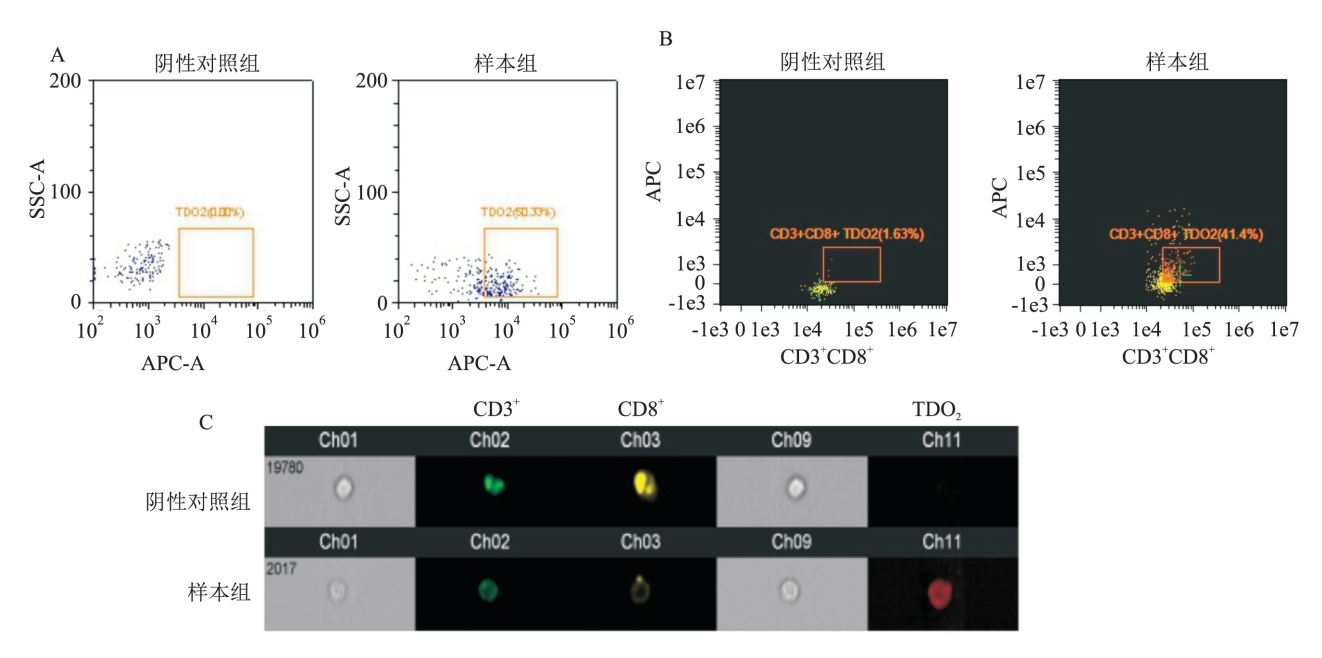


图 3 TDO_2 在大鼠脾脏细胞毒性 T 细胞中的表达

A: Cytomics FC500 检测结果; B: ImageStream Mark Ⅱ 检测结果; C: ImageStream Mark Ⅱ 得到的细胞图片

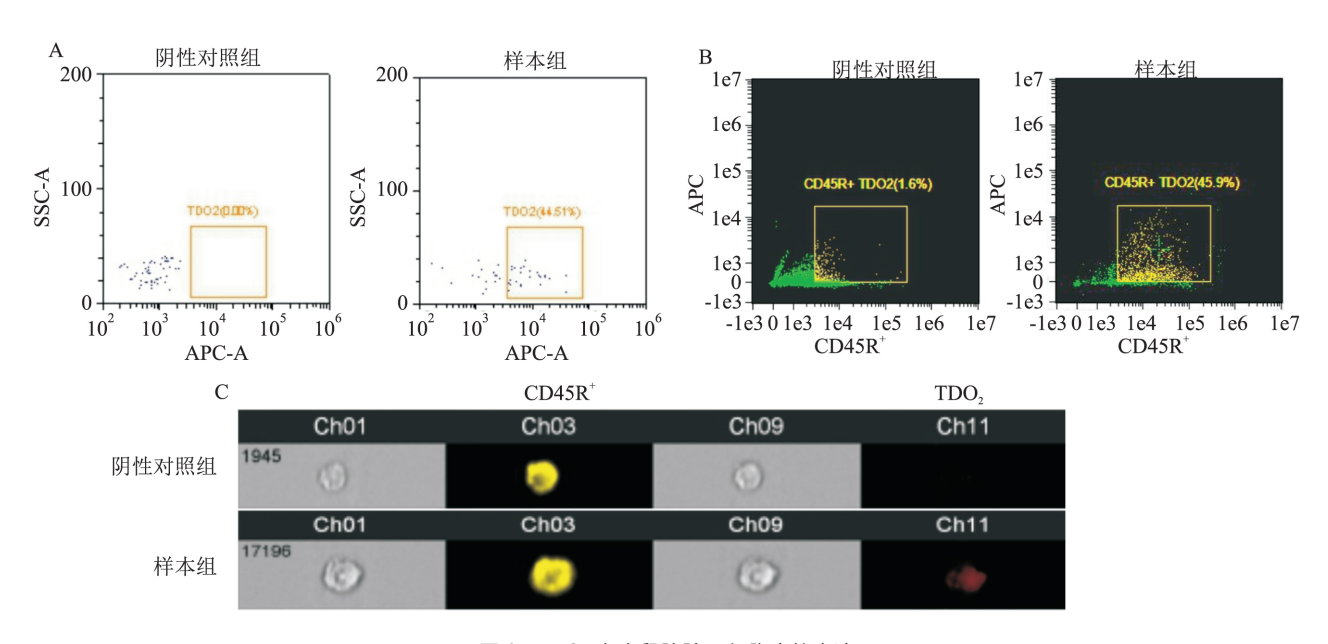


图 4 TDO_2 在大鼠脾脏 B 细胞中的表达

A: Cytomics FC500 的检测结果; B: ImageStream Mark Ⅱ 的检测结果; C: ImageStream Mark Ⅱ 得到的细胞图片

利用率高,上样体积在20~200 μl左右,适用于珍贵样本的流式检测。②细胞回收率高,上机过后的细胞仍可以用于提蛋白或者提 RNA,继而开展其他实验。③可用1.5 ml 离心管直接上机 不需耗费专用流式管。④ 应用方便,仪器可自动调节荧光强度。综上,ImageStream^X Mark II 成像流式细胞仪可在同等操作下获得更多实验结果,但实验仪器的选择还要根据具体的实验条件、实验目的、检测指标等要

求 综合权衡和选择。

参考文献

- [1] Stelmaszczyk-Emmel A , Kopatys A ,Górska E ,et al. The usefulness of flow cytometric analysis of cytokines in peripheral blood and bone marrow plasma [J]. Postepy Hig Med Dosw (Online) , 2013 67: 879 86.
- [2] Moore M J ,Sebastian J A. Determination of cell nucleus-to-cytoplasmic ratio using imaging flow cytometry and a combined ultra-

- sound and photoacoustic technique: a comparison study [J]. J Biomed Opt ,2019 24(10): 1-10.
- [3] Wood B L. Principles of minimal residual disease detection for hematopoietic neoplasms by flow cytometry [J]. Cytometry B Clin Cytom 2016 90(1):47-53.
- [4] Dan M ,Vorobjev I ,Rees P ,et al. Diagnostic Potential of Imaging Flow Cytometry [J]. Trends Biotechnol 2018 ,36(7):649 - 52.
- [5] Coccaro E F ,Lee R ,Fanning J R ,et al. Tryptophan , kynurenine , and kynurenine metabolites: Relationship to lifetime aggression and inflammatory markers in human subjects [J]. Psychoneuroen–docrinology 2016 ,71:189 96.
- [6] Feng X Shen P ,Wang Y ,et al. Synthesis and in vivo antitumor evaluation of an orally active potent phosphonamidate derivative targeting IDO1/IDO2/TDO[J]. Biochem Pharmacol 2019 ,168: 214 –23
- [7] Ye Z ,Yue L Shi J ,et al. Role of IDO and TDO in cancers and re-

- lated diseases and the therapeutic implications [J]. J Cancer , 2019 10(12):2771-82.
- [8] Pham Q T ,Oue N Sekino Y ,et al. TDO₂ overexpression is associated with cancer stem cells and poor prognosis in esophageal squamous cell carcinoma [J]. Oncology 2018 95(5): 297 308.
- [9] Li H Sang L ,Xia X ,et al. Therapeutic duration and extent affect the effect of moxibustion on depression-like behaviour in rats via regulating the brain tryptophan transport and metabolism[J]. Evid Based Complement Alternat Med , 2019 2019:7592124.
- [10] 常 艳 魏 伟. Trp-ID01 2/TD02-Kyn 代谢通路介导类风湿 关节炎的研究进展[J]. 药学学报 2019 54(9):1547-53.
- [11] Bronte V Pittet M J. The spleen in local and systemic regulation of immunity [J]. Immunity 2013 39(5):806-18.
- [12] Haridas V ,Ranjbar S ,Vorobjev I A ,et al. Imaging flow cytometry analysis of intracellular pathogens [J]. Methods ,2017 ,112: 91 –

Comparison of TDO₂ expression in T and B cell subsets of spleen detected by Cytomics FC500 and ImageStream^x Mark II in rats

Zhang Bingjie "Li Siyu Zhao Yingjie "et al

(Institute of clinical pharmacology, Anhui Medical University, Key Lab of Anti inflammatory and Immune Medicine, Ministry of Education, Anhui Collaborative Innovation Center of Anti-inflammatory and Immune Medicine, Hefei 230032)

Abstract Rat spleen cell suspension was prepared by common method. The expression levels of helper T cells (CD3 + CD4 +), cytotoxic T cells (CD3 + CD8 +), and B cells (CD45R +) subsets tryptophan 2, 3-dioxygenase (TDO2) in rat spleen were detected by Cytomics FC500 (FC500) and ImageStream Mark II (Mark II) flow cytometry. The correlation and consistency of the results were observed respectively. The expression of TDO2 in CD3 + CD4 + T cells, CD3 + CD8 + T cells and CD45R + B cells were measured by two kinds of flow cytometry and the correlation were well (R2 > 0.8). Bland-Altman method was used to analyze TDO2 expression in CD3 + CD4 + T cells, CD3 + CD8 + T cells and CD45R + B cells. The bias were -1.3%, -8.2% and 7.4%, respectively. TDO2 were expressed in T and B cells of rat spleen. These two flow cytometries had good correlation and consistency in testing resualts. FC500 is easy and fast to operate. Mark-II combines the high-throughput analysis of traditional flow cytometry with cell mor-phology analysis, which is highly accurate and can obtain specific cell pictures.

Key words flow cytometry; T, B lymphocyte; TDO2; correlation; consistency